# せん断試験によるポリマー改質アスファルト の粘弾性状の評価

新田弘之1・西崎到2・鈴木とおる3

<sup>1</sup>正会員 博(工) 独立行政法人 土木研究所 つくば中央研究所 材料地盤研究グループ 新材料チーム (〒305-8516 茨城県つくば市南原 1-6)

E-mail: hnitta@pwri.go.jp

<sup>2</sup>正会員 博(工) 独立行政法人 土木研究所 つくば中央研究所 材料地盤研究グループ 新材料チーム (〒305-8516 茨城県つくば市南原 1-6)

<sup>3</sup>正会員 一般社団法人 日本改質アスファルト協会 (〒104-0031 東京都中央区京橋 2-11-5)

アスファルトの流動わだちに対する抵抗性の評価を目的として、 $60^{\circ}$ C粘度の測定が行われている。しかし、ポリマー改質アスファルトは、 $60^{\circ}$ Cでも弾性的性質を示し、 $60^{\circ}$ C粘度の測定が困難である。ポリマー改質アスファルトの  $60^{\circ}$ C付近の性状評価としては DSR(Dynamic Shear Rheometer)による粘弾性測定が有効であるが、DSR は一般に高価な測定機器であり、試験室等で所有することは難しい。そこで、本研究では、汎用の試験機である万能試験機を利用したアスファルトの粘弾性評価方法の開発を目的に、定ひずみ速度でアスファルトのせん断試験を実施し、DSR 試験結果などと比較検討した。その結果、万能試験機を用いたアスファルトの粘弾性評価は可能で、性状試験に利用できることがわかった。

Key Words: shear test, polymer modified asphalt, viscoelastic property, plastic flow resistance

# 1. はじめに

夏季のアスファルト舗装の表面は 60℃以上になることもあることから、アスファルトが軟化して流動わだちが発生しやすくなる.このため、アスファルトの流動わだちに対する抵抗性の評価を目的として、60℃粘度の測定が行われてきた.しかし、ポリマー改質アスファルトについては、「舗装設計施工指針(平成 18 年度版)」から標準的性状に 60℃粘度の範囲が示されなくなった.これは、ポリマー量の多いポリマー改質アスファルトにおいては、粘度管を用いて 60℃粘度を測定するときに、流れている状態が測定できず、伸びている状態を測定しているに過ぎないことから、粘度という指標で表すことが適切ではないとの判断からである.これまでの研究で、ポリマー改質アスファルトの 60℃付近の性状評価としては DSR

(Dynamic Shear Rheometer)を用いた粘弾性測定が有効であることが分かっている<sup>1)</sup>. しかし, DSR は一般に非常に高価な測定機器であり, 品質管理を行う試験室等で所有することは難しい. 粘弾性評価が, 比較的廉価な試験機や汎用の試験機を用いて行うことができれば非常に便利である.

本研究では、様々な性状測定に使用される一般的な万能試験機を利用したアスファルトの粘弾性評価方法の開発を目的に、定ひずみ速度でアスファルトのせん断試験を実施し、DSR 試験結果と比較検討した。さらにホイールトラッキング試験を実施し、流動わだち抵抗性との関係を把握した。

なお,本研究は土木研究所と日本改質アスファルト協会の共同研究として実施したものである.

# 2. 試験方法

#### (1) アスファルトのせん断試験

アスファルトのせん断試験は、定荷重で行われた牛尾の研究<sup>2)</sup>を参考に予備試験として一面せん断による検討を行った.本研究は、定ひずみ速度で試験を行うこととしているが、定ひずみ速度で行う場合、一面せん断では治具が平行に移動しないことがあり、試験精度に問題が生じた.また、一般的な万能試験機を利用することを想定しているため、より大きな荷重が得られるようにせん断面積を広く取る必要もあった.このため、これらの課題へ対応できるように二面せん断で試験を行うことにし

た.

二面せん断試験は図-1 に示すように、治具の両側にアスファルトサンプルを配置し、中央の治具を抜き取るようにして行った。治具を万能試験機にセットした様子を写真-1 に示す。温度制御には恒温空気槽を用い、試験温度を2時間保持してから試験を行うようにした。また、アスファルトサンプルは、溶融温度で溶かしてから治具に流し治具と治具で挟み、所定の厚さにしてから余分なサンプルを除去して整形した。続いて試験温度より10℃程度高い温度まで放冷した後、恒温空気槽内に移動させ、試験機にセットし、試験温度になってから、10分間保持してせん断試験を行った。

試験条件としては、ひずみ速度  $0.2\sim5.0$ mm/min(せん断速度  $0.2\sim5.0$ /min),試験温度  $45\sim75$ °Cで行い,変位量 x と引張り荷重 F を測定した.スティフネス S は(1)式により求めた.

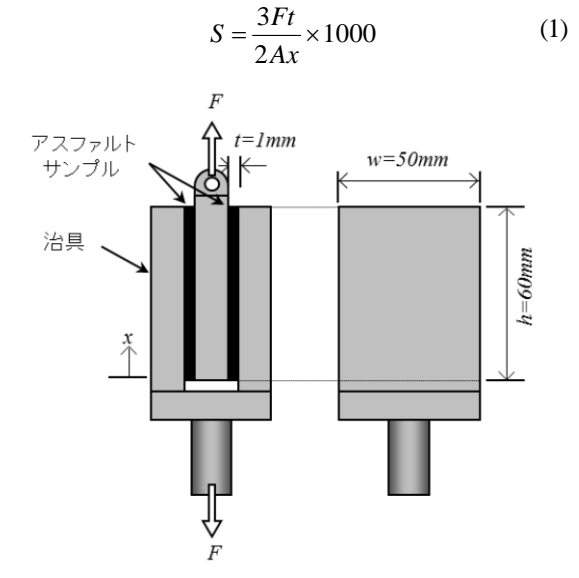


図-1 アスファルトのせん断試験



写真-1 アスファルトのせん断試験の様子

ここに、S: スティフネス (kPa)

F : 荷重 (N)

t : 試料厚さ (=1.0mm)

A : 試料と型枠の接触面積 (=3.0×10<sup>3</sup>mm<sup>2</sup>)

x : 変位量 (mm)

試験の開始時には、図-2 に示すように、荷重が不規則に変化する区間が見られることがあった。これは同一サンプルであっても測定によって出現したりしなかったりし、またアスファルトグレード等とも一定の傾向が見られなかった。塑性変形の可能性もあったが、治具等のわずかな遊びも一因と考えられ、本論文ではこのような場合には原点を図-2 のように補正することにした。

#### (2) DSR

動的粘弾性状の測定はDSRにより行い、操作方法は「舗装調査・試験法便覧 A062」3に従って測定した。

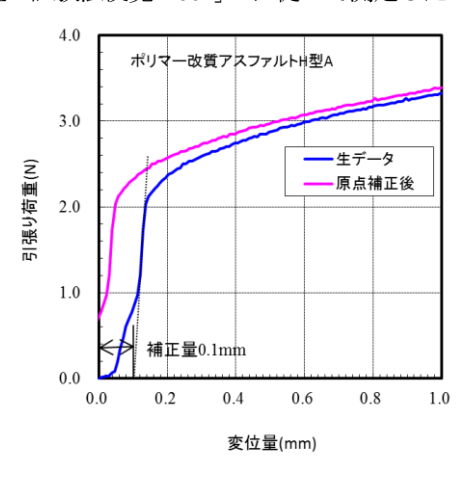


図-2 原点補正の例

表-1 アスファルトサンプルの一般性状

	ストレー	ポリマー	ポリマー	ポリマー
	トアスフ	改質アス	改質アス	改質アス
	アルト	ファルト	ファルト	ファルト
	60-80A	Ⅱ型A	Ⅲ型 A	H型A
軟化点 ℃	48.5	60.5	87.0	89.5
伸度(15°C) cm	100+	85	82	74
タフネス (25℃) <b>N</b> ·m	ı	24.0	37.7	31.6
テナシティ (25℃) N·m		17.0		_
針入度(25℃) 1/10mm	67	47	50	50
密度(15℃) g/cm³	1.043	1.036	1.036	1.033
_	ストレー	ポリマー	ポリマー	ポリマー
	ストレー トアスフ	ポリマー 改質アス	ポリマー 改質アス	ポリマー 改質アス
	,			
	トアスフ	改質アス	改質アス	改質アス
軟化点 ℃	トアスファルト	改質アス ファルト	改質アス ファルト	改質アス ファルト
軟化点 ℃ 伸度(15℃) cm	トアスフ ァルト 60-80B	改質アス ファルト II型B	改質アス ファルト <b>Ⅲ型B</b>	改質アス ファルト H型B
D 11 = 111	トアスフ ァルト 60-80B 47.5	改質アス ファルト II型B 59.5	改質アス ファルト Ⅲ型B 71.5	改質アス ファルト H型B 88.5
伸度(15°C) cm タフネス	トアスフ ァルト 60-80B 47.5	改質アス ファルト II型B 59.5 59	改質アス ファルト Ⅲ型B 71.5	改質アス ファルト H型B 88.5 74
伸度(15°C) cm タフネス (25°C) N·m テナシティ	トアスフ ァルト 60-80B 47.5	改質アス ファルト II型B 59.5 59 27.6	改質アス ファルト Ⅲ型B 71.5	改質アス ファルト H型B 88.5 74

#### (3) 動的安定度

動的安定度の測定は、「舗装調査・試験法便覧 B003」 4 に従って測定した.

# (4) サンプル

使用したアスファルトサンプルの一般性状を表-1 に示す. これらは、製造方法の異なるストレートアスファルト 60-80A および B と、これら二つのストレートアスファルトをベースに作製したポリマー改質アスファルト II 型、H型、計8種類である. これらは同グレードでも比較的性状の異なるものと考え、異なる性状でも同様に評価できるかを確認するために用意した.

また,動的安定度の測定に用いたアスファルト混合物は,密粒度アスファルト混合物(13)とし,中央粒度でアスファルト量はOACとした供試体を用いた.

# 3. アスファルトのせん断試験方法の検討

#### (1) せん断速度の検討

試験条件の検討のために、せん断速度を変えて測定を

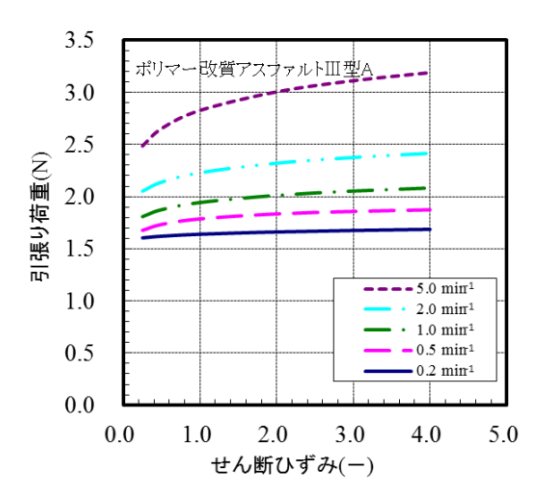


図-3 せん断速度による荷重曲線の違い

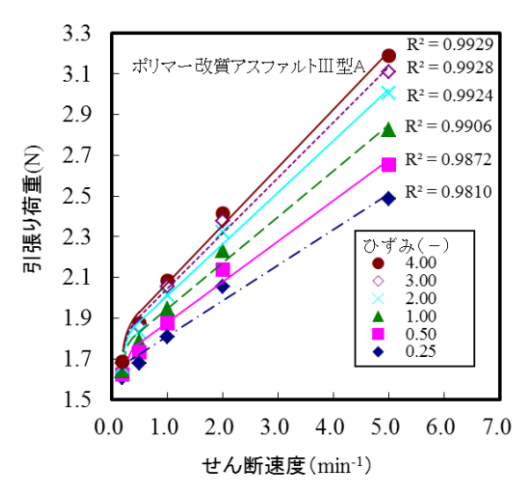


図-4 せん断速度の影響

行った. 荷重変位曲線を図-3 に示す. せん断速度を速くするほど荷重が大きくなった. せん断速度と荷重の関係を見るために、図-4 に示すように、せん断速度を横軸にして、同じひずみ量のときの荷重をプロットした. せん断速度が 0.5 min<sup>-1</sup>以上では直線的な関係がみられた. これはポリマー改質アスファルトが非ニュートン流動を示す物質であり準塑性流れを示したためであると考えられた. 本研究では、測定精度を考慮して比較的変動要因が少ないと予想される直線的な部分の測定をすることにした. そこで、せん断速度は、試験時間も考慮して、5.0 min<sup>-1</sup>で行うことにした.

#### (2) データ処理方法の検討

本研究では、定ひずみ速度のせん断試験を行い式(1)によりSを求めるが、SはZ-Sに示すように変位量Xとともに変化し、両対数グラフ上で減少するように変化した。このような変化は、BBR (Bending Beam Rheometer) 試験 <sup>5</sup>結果と類似しているため、これを参考に特性やデータ処理方法の検討を行った。

BBR では、このSとSの傾きmを特性値として用いるが、Sは図-Gに示すように、実データでは、わずかに振

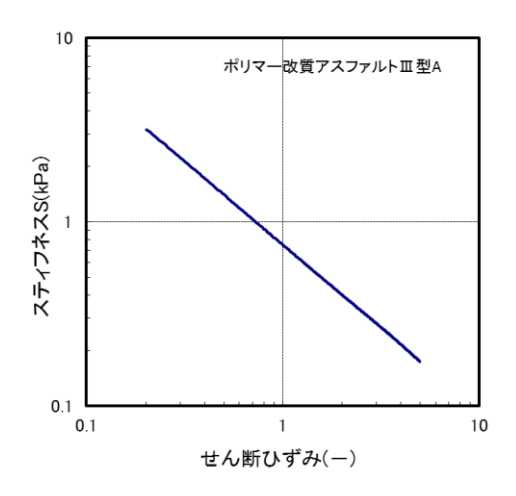


図-5 スティフネスの変化の例

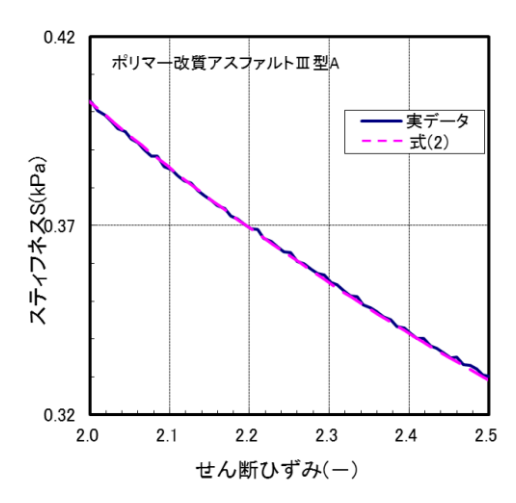
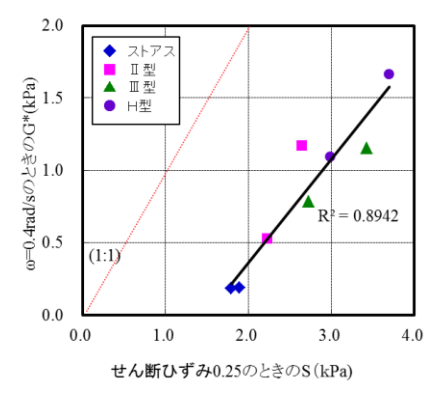
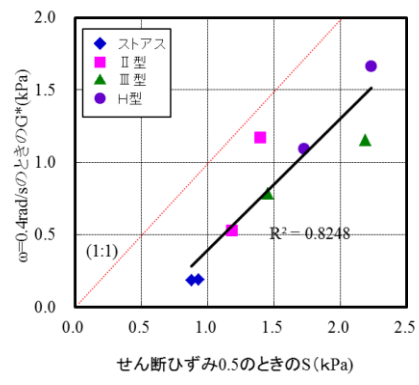


図-6 スティフネスの実データと式(2)よる算出データ





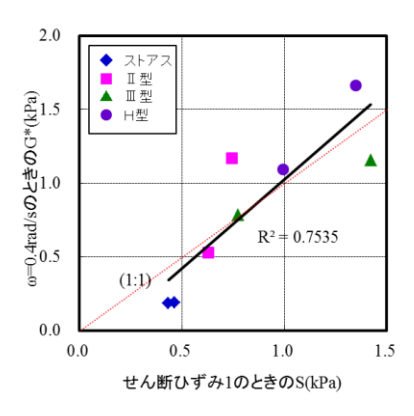
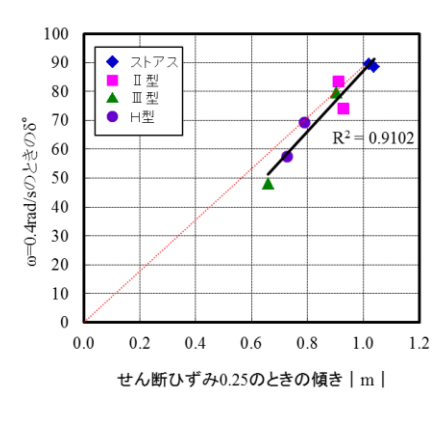
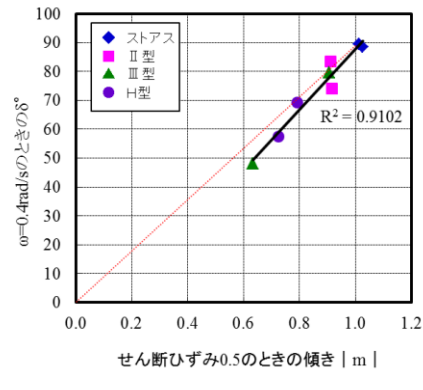


図-7 スティフネスSと複素弾性率G\*の関係





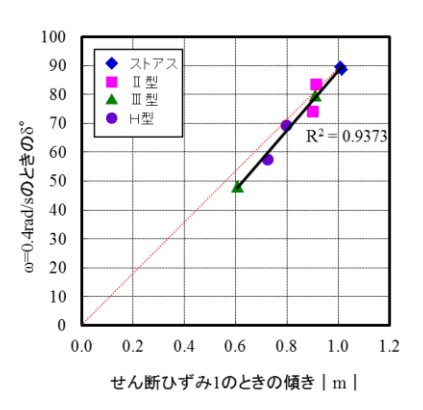


図-8 傾き m と位相差 δ の関係

動しており、実データから直接傾き m を求めると非常に変動の大きなものになった.これを解決するために、S を近似式で表し、近似式から m を求めることにした.S の近似式は、BBR を参考にして検討した結果、A、B、C を定数として式(2)で表すことができた.BBR においては、グラフ上の 6 点から、近似式(2)の定数 A、B、C を求めており、本研究のせん断試験においても、同様にして A、B、C を求めた.図-6 に示したように、S の実データと式(2)よる近似曲線はよく一致した.なお、実データと近似曲線の相関係数が  $R^2 \ge 0.999$  となるように A、B、C を求めた.

$$\log S = A + B \log x + C[\log x]^2 \tag{2}$$

傾き m については、式(3)のように求めた.

$$|m| = B + C \log x \tag{3}$$

#### 4. 粘弾性状の評価

# (1) DSR との比較検討

せん断試験で得られる S や m は変位量によって数値が変わり, DSR によって得られる複素弾性率 G\*や位相差  $\delta$  は測定周波数によって数値が変わる。そこで S と G\*, m と  $\delta$  の相関関係を調べた. S と m は変位量 0.25mm~4mm

の範囲,  $G^*$ と  $\delta$  は 0.4rad/s~10rad/s の範囲でそれぞれ組み合わせて相関性を求めた結果,変位量 0.25~1mm 付近と周波数 0.4rad/s 付近の相関性が良くなる傾向を示した.このときの S と  $G^*$ の関係を図-7 に,m と  $\delta$  の関係を図-8 に示す.S については,相関係数では 0.25mm での値が高くなったが,1mm の結果は,1:1 の点線に非常に近くなっており,弾性率としての大きさの程度がほぼ同じになった.また,m については全般によい相関性であり,特に 1mm での値で相関性が高くなった.

以上より、せん断試験の結果は、DSR の結果と相関性が高く、定ひずみ速度のせん断試験においても粘弾性評価は可能であることがわかった。

#### (2) マスターカーブの作成

定ひずみ速度のせん断試験でも粘弾性の評価は可能であることがわかった.しかし、本研究では、比較的小さい供試体での測定であり、一条件で得られる情報の範囲が狭い.粘弾性物質では、広い範囲の粘弾性状を把握するために、様々な試験温度による測定を繰り返し、温度時間換算則を利用してマスターカーブを作成することがある.本試験法においては横軸を変位量にとっているが、温度-時間換算則を模してマスターカーブが作成できるか試みた.

試験温度 45~70℃でせん断試験を実施し、得られた複数のスティフネス曲線を 60℃を基準として横方向に移動

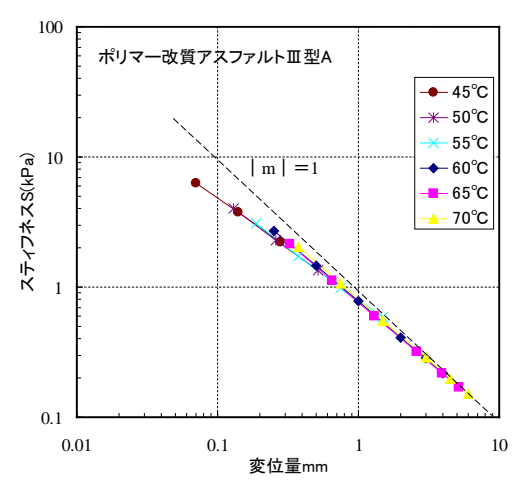


図-9 せん断試験から求めたマスターカーブ

させ重ね合わせ、マスターカーブを作成した。得られたマスターカーブを図-9に示す。通常、横軸を時間にとるが、本研究では変位量を横軸にとっており、通常のマスターカーブとは異なるものの、変位量が大きくなるほど傾き | m | が小さくなってきており、通常のマスターカーブに見られる形状のカーブが得られることが分かった。従って、定ひずみ速度でのせん断試験においても、マスターカーブの作成は可能であり、マスターカーブの作成により、広い範囲の粘弾性状を把握できることが分かった。

# 5. アスファルト混合物の耐流動性との関係

アスファルトのせん断試験により、アスファルトの耐流動性の評価が可能であるかを確認するために、アスファルト混合物 (密粒度アスファルト混合物(13)) の動的安定度 DS とせん断試験で得られる特性値の相関性を検討した. 図-10にスティフネス S と動的安定度 DS との関係、図-11に傾き m と動的安定度 DS との関係を示す. S や m は、ひずみ量により値が変化するので、4.(1)と同様にひずみ 0.25、0.5、1.0 の場合について示した。どのひずみ量でも相関係数は高い値であったが、特にひずみ 0.25 のとき、S、m ともに高い相関性を示した。

以上より、せん断試験により得られるSやmは、耐流動性を評価する指標として有効であることが分かった。ただし、mは粘性的か弾性的かの程度を示すものであるので、単独で耐流動性を評価するものではなく、Sを補足するものとして扱うのが良いと考えられた。

# 6. 市販アスファルトの性状範囲

定ひずみ速度によるせん断試験で得られる S や m について,一般に流通しているポリマー改質アスファルト II 型およびIII型で,どのような値の分布になっているかを確認した. 図-12 にひずみ 0.25, 0.5, 1.0 での S と m の分

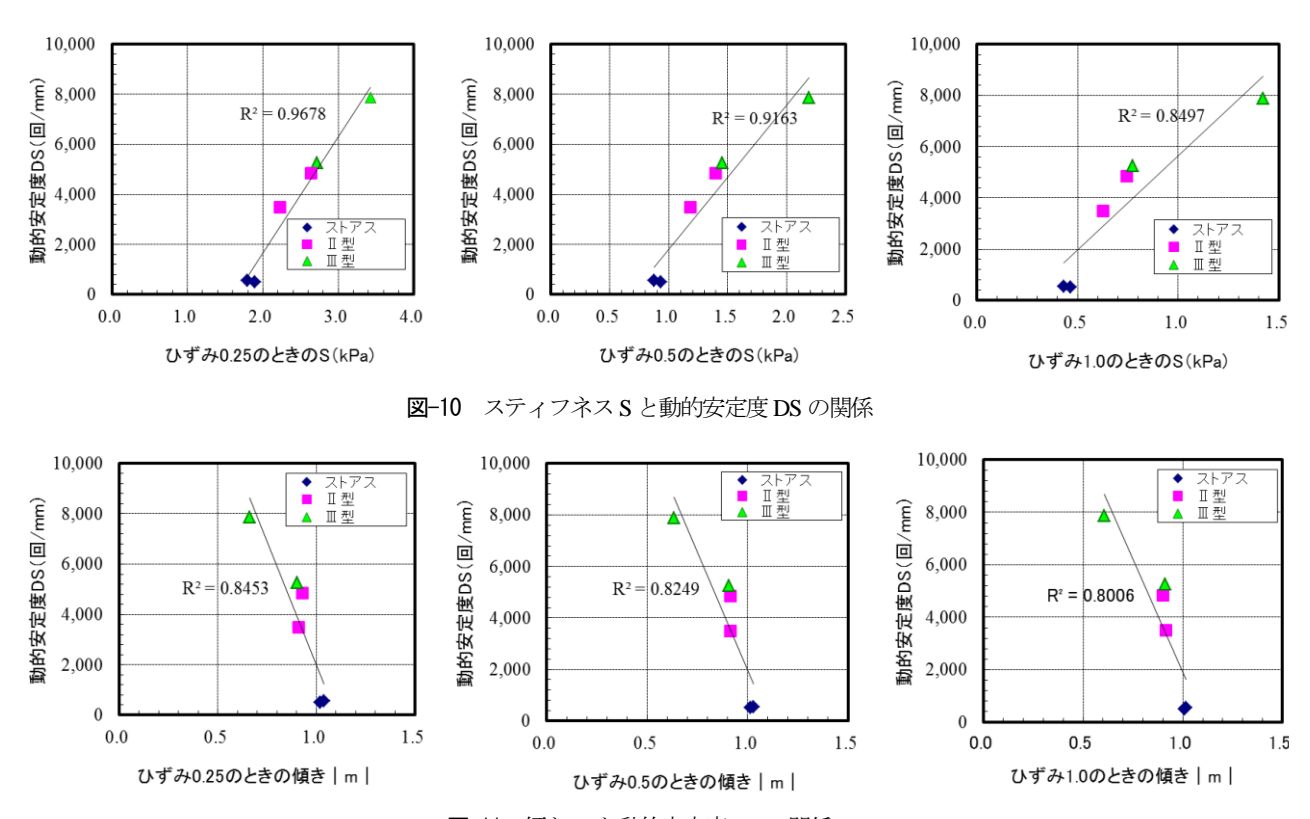


図-11 傾き m と動的安定度 DS の関係

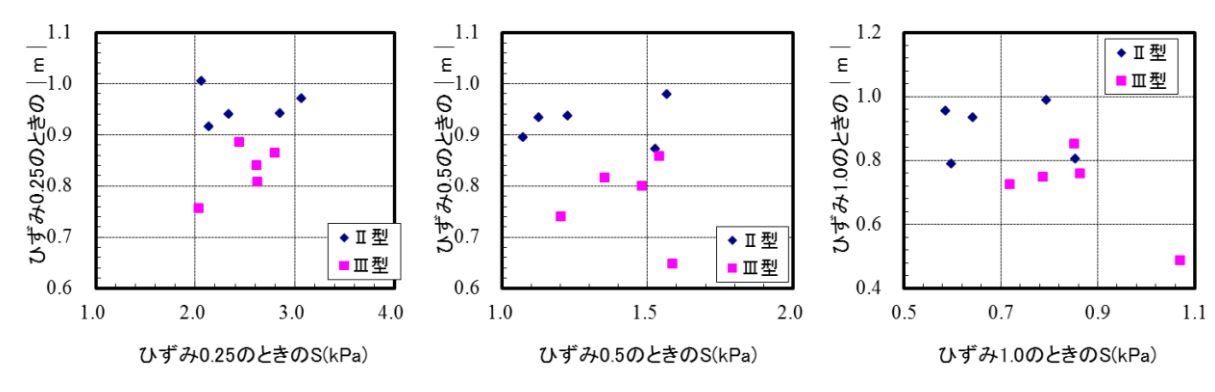


図-12 市販ポリマー改質アスファルトにおけるせん断試験結果の分布

布を示す.

ひずみ 0.25 の場合, II型とIII型はS については同じような範囲に分布し,m によってよく分かれることが分かった.したがって,m によるグレードの区別ができるものと考えられた. ひずみ 0.5 の場合も m によりグレードの区別ができそうであるが,S もII型とIII型で少し分布の範囲が異なってきている. さらにひずみ 1.0 になると m は重なる部分が出てくるものの,S の分布がII型とIII型で大きく異なるようになってきている.

以上より、耐流動性の異なるグレードであるポリマー 改質アスファルトII型とIII型は、Sやmによってもグレ ードの区別ができるものと考えられ、今後アスファルト 混合物の動的安定度との比較検討をもっと進めることに より、基準値も求められるものと考えられた.

# 7. まとめ

本研究では、ポリマー改質アスファルトの60℃での粘弾性状を比較的汎用な試験機で評価する方法を開発することを目的に、定ひずみ速度によるアスファルトのせん断試験について検討した。その結果、定ひずみ速度によるせん断試験で得られるスティフネスや傾きmにより粘弾性の評価は可能であり、流動性を評価する動的安定度とも高い相関性があることを確認した。

本研究で得られた主な知見をまとめると次のとおりである.

- (a) 荷重の大きさは引張り速度に依存した. 試験時間, 試験精度を考慮して, ひずみ速度は 5.0min<sup>-1</sup> と決定した.
- (b) 実データは微細な振動をしているため、スティフネスSの傾きmの算出に課題があったが、BBRで用いられる回帰式を適用することで算出できることを確認した.

- (c) せん断試験から得られる  $S \ge m$  は、DSR で得られる 複素弾性率  $G^*$ と位相差  $\delta$  と相関性が高く、粘弾性の 評価に有効であることを確認した.
- (d) いくつかの試験温度で得られたスティフネス曲線を 利用してマスターカーブが作成でき、幅広い粘弾性 状の把握も可能なことが分かった.
- (e) Sは、アスファルト混合物の動的安定度との相関性が見られ、ポリマー改質アスファルトの耐流動性の評価指標として有効であることを確認した。また、mは粘弾性の程度を示すものであり、耐流動性の評価ではSを補足するものであると考えられた。
- (f) 市販のポリマー改質アスファルトのⅡ型とⅢ型を測定した結果, S や m がⅢ型とⅢ型で異なる分布を示し, アスファルトのグレードの評価にも利用できる可能性があることが分かった.

今後は、試験機が異なる場合の誤差の確認や、操作性の向上、耐流動性との相関性の更なる検討を進めるほか、ポリマー改質アスファルトの基準値としての検討を進め、60℃粘度に代わる指標として確立していく予定である.

## 参考文献

- 1) 塚越, 田中, 佐々木, 新田, 坂本:舗装用アスファルトの 粘弾性状と混合物の流動特性に関する実験, 第50回土木学 会年次学術講演会第5部, 1995.
- 2) 牛尾:アスファルトの工学特性、主としてクリープに関する研究(第1報)、石油学会誌、Vol.21、No.3、pp.167-174、1978
- 3) (社)日本道路協会: 舗装調査・試験法便覧, 第 2 分冊, pp.281-291, 2007
- 4) (社)日本道路協会: 舗装調査・試験法便覧,第3分冊, pp.39-56,2007.
- 5) (社)日本道路協会: 舗装調査・試験法便覧, 第 2 分冊, pp.266-273, 2007.

# EVALUATION OF VISCOELASTIC PROPERTY OF POLYMER MODIFIED ASPHALT BY SHEAR TEST

# Hiroyuki NITTA, Itaru NISHIZAKI and Tooru SUZUKI

 $60^{\circ}$ C viscosity has been measured aiming at the evaluation of the flow rut resistance of asphalt. However, because the polymer-modified asphalt has the character of rubbery elasticity,  $60^{\circ}$ C viscosity measurement is difficult. The viscoelasticity measurement by DSR (Dynamic Shear Rheometer) is effective as the properties evaluation of the polymer-modified asphalt of about  $60^{\circ}$ C. However, DSR is an expensive testing machine in general, and it is difficult to use this in laboratory of manufacturing plant. This research has aimed at the development of the method of evaluating the viscoelasticity of asphalt using the universal testing machine that is a general-purpose testing machine. The shearing test of asphalt was done at a constant strain velosity with an universal testing machine, and effectiveness was examined compared with DSR etc. The following have been understood as a result. The evaluation of asphalt viscoelasticity is possible also by the universal testing machine. This test method can be used for the asphalt property evaluation at about  $60^{\circ}$ C.